

تصميم عواكس متعددة الحزم باستخدام مفهوم الكومة

هيفاء غازي رشيد

تاريخ قبول النشر ٢٠٠٤/٨/٢١

الخلاصة

صممت مرآيا مزدوجة وثلاثية الحزمة باعتماد مفهوم الكومة ، حيث تم تغيير سمك الطبقتين ضمن الدورية الاساس للكومة ونسب مختلفة (p:q) اضافة الى تغير معامل انكسار المواد ضمن الدورية الاساس وتأثيرها على مواقع ظهور قمم الانعكاسية العالية. شملت الدراسة المنطقة الطيفية المرئية وتحت الحمراء بالاعتماد على نظرية المصفوفة المميزة المعدلة ولسقوط للضوء قريب من العمودي على ترتيب متعدد الطبقات لمواد عازلة وبشكل اغشية رقيقة متجانسة ومتماثلة الخواص. اوضحت النتائج، ان اعتماد مفهوم الكومة يمكننا من التحكم بمواقع قمم الانعكاسية العالية وتوسيع عرض حزمها والتي هي الاساس في تصميم المرآيا المزدوجة و ثلاثية الحزمة اضافة لكونها حجر الاساس لمرشحات بصرية اخرى.

المقدمة

d_{II} و d_I السمك الهندسي للطبقتين L و II على التوالي. يحدد هذا التصميم موقع قمة الانعكاسية العالية عند طول موجة التصميم ، اي، ما يعرف بـ " الانعكاسية الاساسية " [5] (Fundamental reflectance)

تعد الدراسة المقدمة من قبل الباحثين (Baumeister & Turner) [6] ولحد الان من الدراسات الاكثر اهمية وشمولية ، حيث اقترحا استخدام الكومة (2:1) من خلال التعيير في سمك المواد المرسبة ضمن الترتيب الدوري مما ادى الى ظهور رتبة الانعكاسية العالية الاولى والثانية (First-and second-order high reflectance bands) عند الاعداد الموجية النسبية. $(g = \lambda_0/\lambda_c = 2/3, 4/3)$ واختفائها عند طول موجة التصميم $g=1.0$. ان هذا الترتيب استخدم في التحكم في عرض حزمة الانعكاسية العالية دون الاشارة الى استخدامها في تصميم المرآيا المزدوجة والثلاثية واعتمدت دراسته على نظريتي المصفوفة المميزة (Characteristic matrix theory) [5] ونظرية الطبقة المكافئة [7.8].

درست الباحثة (Rashid) [9] تأثير السمك البصري للطبقات ضمن الترتيب الدوري للكومة ونسب مختلفة (p:q) معتمدة على نظرية

اكتسبت المرآيا ذات الانعكاسية العالية والمصنعة باستخدام تقنية الاغشية الرقيقة اهميتها من خلال التطبيقات الواسعة لها في الاجهزة البصرية وتحديدًا في مرئاة الليزر (Resonator) [1-3] (التي تتطلب ان تكون ظاهرتي الامتصاص والاستطارة واطنيتين) وتتكون عادة من مرأتين احدهما ذات انعكاسية عالية والاخرى لها نفاذية معينة لطول موجة الليزر. ونظرا للامتصاصية العالية للفلات فقد استعيض عنها بمواد عازلة (Dielectric materials) [2-5] والتي يمكن التحكم بكمية الانعكاسية العالية وعرض حزمة الانعكاس وذلك بالاختيار الامثل لمواد الطلاء وسمكها البصري وعدد الطبقات المرسبة. تعتمد اغلب تصاميم المرآيا ذات الانعكاسية العالية على مفهوم الكومة المكونة من ترتيب دوري يتناوب فيها معاملي الانكسار العالي n_{II} و الواطي n_I وبسمك بصري ربع طول موجة $n_I d_I = n_{II} d_{II} = \lambda_0/4$ ، وللتصميم [4-6]:

Air [HL]^S Substrate

S - تشير الى رتبة الدورية الاساس (Order of periodicity) ، [HL] الفترة الاساس (Basic Period) . λ_0 طول موجة التصميم ،

$$\sum n_i d_i = g \frac{\lambda_0}{2}$$

اذ تمثل g' عددا صحيحا وهو رتبة حزمة الانعكاسية العالية. فاذا كان طول موجة التصميم لمنطقة الانعكاسية الاساسية هو λ_0 ، فان مناطق الانعكاسية العالية الاخرى تحدث عند جميع الاطوال الموجية التي تمتلك طبقاتها سمكا بصريا مقداره عدد فرديا لربع طول الموجة ومضاعفاتها الفردية، أي،

$$\lambda_0/4, 3\lambda_0/4, 5\lambda_0/4, \dots$$

حيث ان العدد الموجي النسبي g يحدد بالقيم

$$g = \lambda_0 / \lambda = 1, 3, 5, 7$$

اما الاطوال الموجية التي تمتلك طبقاتها سمكا بصريا مكافئا لعدد زوجي لربع طول الموجة ومضاعفاتها التي تكون مساوية لعدد صحيح لنصف الطول الموجي، أي:

$$\lambda_0/2, \lambda_0, 3\lambda_0/2, \dots$$

حيث ان $g=2, 4, 6, 8$

ففي هذه الحالة تسمى الطبقة بالطبقة الغائبة

(Absentee layer) والانعكاسية عندئذ تكون

انعكاسية الاساس دون طلاء [9] ويلخص

الجدول (1) المقارنة مع الدراسات السابقة

للزجاج والدراسة الحالية للجرمانيوم والموضحة

بالشكلين (1 و 2) . الملاحظ من الاشكال ،

ان سلوك الانعكاسية على مدى واسع لقيم g

للمنطقتين المرئية وتحت الحمراء يكاد يكون

سلوكا عاما حيث ظهرت قيم الانعكاسية العالية

عند $g=1, 3, 5$ وهي بذلك تصلح كتصاميم

لمرايا ثلاثية الحزمة ، كذلك ظهور مناطق

انعكاسية واطنة عند قيم $g=2, 4, 6$ والتي تصلح

بدورها لان تكون مرشحات امرار حزمة عريضة

بعد ان يتم ازالة قسمها الثانوية . يعزى الاختلاف

في الاداء البصري للزجاج والجرمانيوم الى ان

الجرمانيوم ذو معامل انكسار عالى مقارنة

بالزجاج.

كومة (2:1)

عندما يكون السمك البصري للدورية الاساس محددًا بالمعادلة:

$$2n_L d_L + n_H d_H = \lambda_0$$

فان التصميم يكون

Air [H'L'L']⁴ Substrate

اذ تظهر قيم الانعكاسية العالية عند $g=1.0, 2.0$

اما عند $g=3.0$ فان الطبقات تتصرف تصرف

الطبقة الغائبة ، كما في الشكلين (3 و 4)

وتمثل هذه الكومة اساس عمل المرايا المزدوجة

المصنوفة المميزة المعدلة [١٠] دون الاشارة الى تصاميم المرايا المزدوجة والثلاثية وشملت الدراسة المنطقة الطيفية المرئية وتحت الحمراء القريبة . وصف الباحثان Lilil Dobrowolski & [10,11] طريقة تصميم طلاء بصري يعمل لمنطقتين او ثلاث مناطق ممتدة ومنفصلة

(Two or more widely separated regions) حيث اعتمدت الطريقة على مفهوم الطبقات المنظمة (Buffer layers) ووضحوا تحديات هذه الطريقة وتأثيرها على الاداء البصري . الملاحظ في هذه الدراسة ، ان ما وصف في هذه الطريقة يعود الى تصميم نوعين مختلفين من المرشحات ، مثلا ، مرايا ذات انعكاسية عالية في المنطقة المرئية وطلاء مضاد للانعكاس في المنطقة تحت الحمراء في ان واحد. ونظرا للحاجة المتزايدة الى تصميم وتصنيع مرايا ذات انعكاسية عالية مزدوجة الحزمة [12] تعمل عند طولين موجيين او اكثر في ان واحد ، فقد ادرجت الشركات مخططات الانعكاسية عند طولي موجتي 350 nm و 1600 nm [13] دون ذكر تفاصيل التصميم والتصنيع. تهدف الدراسة الحالية الى تصميم مرايا مزدوجة وثلاثية الحزمة تعتمد على الطريقة المستخدمة سابقا [9] لتشمل المنطقة المليغية تحت الحمراء وتحديدًا عند طول موجي الليزر $\lambda_0 = 10.6 \mu m$

تأثير تغير سمك الطبقات ضمن الدورية الاساس على طيف الانعكاسية

تناولت الدراسة تغير سمك الطبقات ضمن الدورية الاساس للكومة حيث اقتصر على تغير النسب : 1:1 , 2:1 , 3:1 (p:q) للتصميم :

Air [H'L']⁴ Substrate

اختير الزجاج الاعتيادي والجرمانيوم كمادتي اساس (معامل انكسارهما 1.52 و 4.0 عند الطول الموجي 550nm و 10.6 μm على التوالي) انعكاسيتهما (بدون طلاء) 4.0% و 36.0% وعلى التوالي.

كومة (1:1)

ان الشرط الضروري للحصول على الانعكاسية

العظمى (R_{max}) في مناطق غير $g=1.0$

هو [4]:

لذا فان الدورية الاساس تكون [LMII] او [LIIIM] او [MIIII] وبسبك ربع طول موجة لكل طبقة ، أي:

$$n_I d_I = n_{II} d_{II} = n_M d_M = \lambda_0 / 4$$

وعند مقارنتها مع نتائج الانعكاسية للتصميم المكون من مادتين :

$$\text{Air [III]}^4 \text{ Ge}$$

نلاحظ ان الاختيار الامثل لموقع الطبقة ذات معامل الانكسار الوسطى يؤول الى تصميم مرآة مزدوجة الحزمة كما موضح في الاشكال (7a,b,c) ويعتبر الشكل (7-a) افضل نموذج لتصميم مرآة مزدوجة الحزمة لطولين موجتي $8 \mu\text{m}$ و $16 \mu\text{m}$ اما المنطقة المحصورة بين فانها تصلح لان تكون مرشح امراة حزمة عريضة. الا ان استخدام مادة ثالثة لا يخلو من صعوبات ، اذ على المشتغلين في هذا المجال مراعاة اختيار المادة الثالثة بحيث تتوافق بصريا وكيميائيا مع الاساس والمادتين الاخرتين اثناء عملية الترسيب .

توسيع حزمة الانعكاسية العالية للكومة (2:1)

لغرض توسيع عرض حزمة الانعكاسية العالية للمرايا مزدوجة الحزمة التي تعمل عند طولي موجتي ليزر هيليوم - نيون (632.8 nm) و ليزر النيوديميوم - ياك ($\lambda_0 = 1.06 \mu\text{m}$) فقد اعتمد الزجاج الاعتيادي كاساس رسبت عليه MgF_2 ($n_I = 1.38$) و ZnS ($n_{II} = 2.35$) كومتين (Overlapping stack) [6] والتحكم بالسلك البصري لكل كومة فانه يمكن تصميم مرآة مزدوجة الحزمة ممتدة وحسب التصميم:

$$\text{Glass} | [1.333L, 0.666II]^7 | 0.9L$$

$$| 2.2329L, 1.1166II]^7 | \text{Air}$$

كما موضح في الشكلين (8) و (9) والجدول (2) يلخص اهم النتائج.

الاستنتاجات

مما تقدم يمكن ان نستنتج مايلي:

- نكتسب المرايا المتعددة الحزم اهميتها في كونها اقتصادية الثمن حيث يمكن استخدامها لمنطقتين طيفيتين او اكثر دون الحاجة الى تصنيع مرآة لكل منطقة على حدة ، و من ناحية اخرى فعند استخدام هذا النوع من المرايا كاجزاء بصرية ضمن منظومات توليد الليزر فان القياسات العملية ستجرى تحت

الحزمة . اما المنطقة المحصورة بين $g=1 \rightarrow 2$ و $g=4 \rightarrow 5$ فانها تمثل تصاميم لمرشحات امرار حزمة ضيقة (Narrow bandpass filter) اما المنطقة المحصورة بين $g=2 \rightarrow 4$ فانها تمثل مرشح امرار حزمة عريضة (Broad bandpass filter) بعد ان يتم ازالة القمم الثانوية التي تظهر بشكل اكثر موثراً للجرمانيوم عنه لحالة الزجاج .

كومة (3:1)

عندما يكون السمك البصري للدورية الاساس محددا بالمعادلة:

$$3n_I d_I + n_{II} d_{II} = \lambda_0 / 2$$

فالتصميم يكون:

$$\text{Air [II"LL" L"]^4 \text{ Substrate}}$$

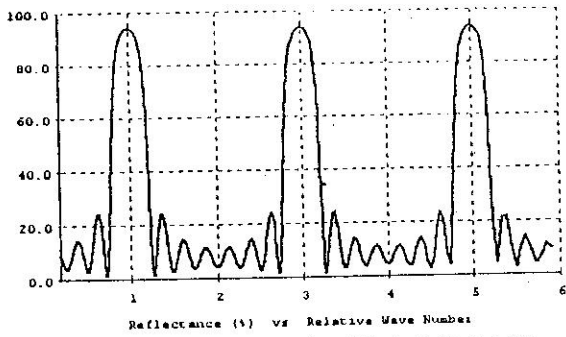
فان الانعكاسية العالية تظهر عند $g=1.0, 2.0$ اما عند $g=4.0$ فان الطبقات جميعها تتصرف تصرف الطبقة الغائبة والانعكاسية هي للارضية الاساس. ان هذا الترتيب هو الاساس في تصميم مرآة مزدوجة و ثلاثية الحزم كما موضح في الشكلين (5 و 6) ، نلاحظ ان سلوك الجرمانيوم مقارنة بالزجاج قد اختلفت بعض الشيء في بعض المناطق وتحديد عند $g=1-2$ و $g=2-3$ مقارنة بالكومة ذات الاسماك (1:1) و (2:1) . اذ كلما ازداد السمك البصري للكومة فان التأثير سيكون على قيم الانعكاسية للقمم الثانوية . ان هذا النوع من الكومات يصلح لان يكون مرشح حزمة عريضة للمنطقة $g=2-3$ بعد ازالة القمم الثانوية اضافة لذلك يمكن ازالة قمم الانعكاسية عند $g=1, 2, 3$ وجعلها مرآة ذات انعكاسية عالية تمتد إلى مدى واسع من الطيف او التحكم بعرض الحزمة ضمن المنطقة الطيفية المطلوبة.

دراسة تأثير الانعكاسية عند استخدام ثلاث

مواد ضمن الدورية الاساس

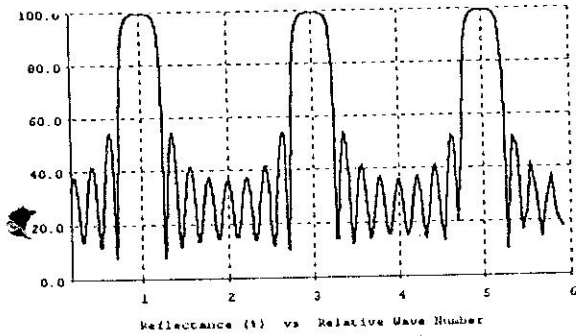
تم اختيار الجرمانيوم كمادة اساس رسبت عليه مواد ذات معاملات انكسار عالي n_{II} واخر واطى n_I ومادة ثالثة معامل انكسارها وسط بين المادتين والتي تحدد بالمعادلة:

$$n_{III} = \sqrt{n_I n_{II}}$$



Reflectance (%) vs Relative Wave Number

شكل (1) الانعكاسية دالة للعدد الموجي النسبي للتصميم Glass [LH]⁴ Air؛
 محققا الشرط $n_L d_L = n_H d_H = \lambda_0 / 2$ ، $n_L(\text{MgF}_2)=1.38, n_H(\text{ZnS})=2.35$ ،
 $n_L d_L = n_H d_H = \lambda_0 / 2$ مقارنة مع [4,9]. $\lambda_0 = 500 \text{ nm}$



Reflectance (%) vs Relative Wave Number

شكل (2) الانعكاسية دالة للعدد الموجي النسبي للتصميم Ge [LH]⁴ Air؛
 محققا الشرط $n_L d_L = n_H d_H = \lambda_0 / 2$ ، $n_L(\text{ZnS})=2.20, n_H(\text{Ge})=4.0$ ،
 $n_L d_L = n_H d_H = \lambda_0 / 2$ مقارنة مع [4,9]. $\lambda_0 = 10.6 \mu\text{m}$

من ظروف بطرعم من اختلاف المناطق
 لنية

• ان تصميم المرايا المزدوجة و الثلاثية الحزم
 يعتمد بالاعتماد على التحكم بالسلك البصري
 تطبق ضمن الترتيب الدوري للكومة ، حيث
 نلاحظ ان السلوك العام للانعكاسية مقابل الطول
 موجي او العدد الموجي النسبي) يكاد يكون
 متماثلا للمنطقة المرئية وتحت الحمراء.

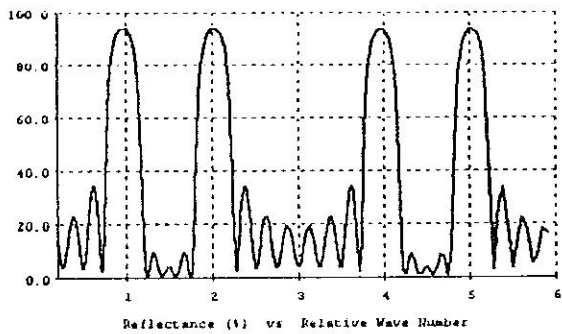
• ان تصميم المرايا المزدوجة و الثلاثية
 والمعتمدة على مفهوم الكومة يعد حجر
 الاساس لمرشحات بصرية من نوع اخر.

• ان ادخال مادة ثالثة معامل انكسارها
 وسط بين معاملي الانكسار العالي والواطي
 والتحكم الدقيق بموقعها ضمن الدورية
 الاساس يمكن استخدامه كبديل عن تغير سمك
 الطبقتين ضمن الدورية الاساس ، الا انه
 يتطلب توافقا بصريا وكيميائيا مع المواد
 المرسبة الاخرى ومع المادة الاساس.

• ان استخدام تراكم كومتين والتحكم
 بالسلك البصري للمواد المرسبة ضمن
 الترتيب الدوري للكومة والاختيار الامثل
 لطول موجة التصميم يودي الى تصميم مرايا
 مزدوجة الحزمة وبعرض حزمة انعكاسية
 عالية ممتدة على مدى واسع من الأطوال
 الموجية.

جدول (1) مقارنة الدراسة الحالية مع الدراسة السابقة للرجوع ودراسة
 الدالية لاجرميوم

رقم الشكل	الجرمانيوم كلس	رقم الشكل	الزجاج كلس مقرون مع فيمس [4,9]
(2)	كومة (1:1)	(1)	كومة (1:1)
(4)	كومة (1:1)	(3)	Glass[LH] ⁴ Air
(6)	كومة (1:1)	(5)	Glass[LH] ⁴ Air
			Glass[L'L'H'] ⁴ Air
	$n_0=1.0$ $n_L(\text{ZnS})=2.20$ $n_H(\text{Ge})=4.00$ $n_S(\text{Ge})=4.00$ $\lambda_0=10.6 \mu\text{m}$		$n_0=1.0$ $n_L(\text{MgF}_2)=1.38$ $n_H(\text{ZnS})=2.35$ $n_S(\text{Glass})=1.52$ $\lambda_0=550\text{nm}$

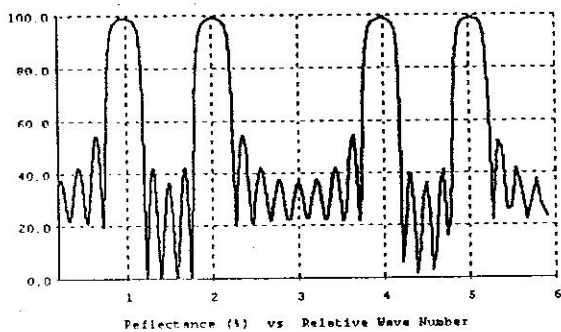


Reflectance (%) vs Relative Wave Number

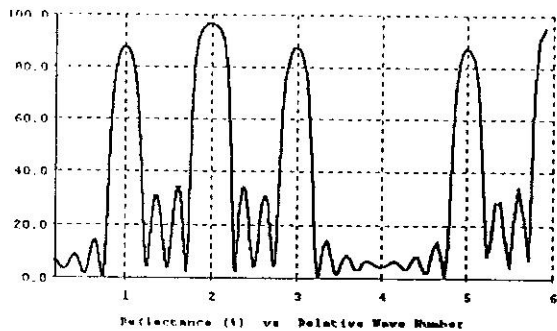
شكل (3) الانعكاسية دالة للعدد الموجي النسبي للتصميم Glass [L' L' H']⁴ Air؛
 محققا الشرط $2n_L d_L = n_H d_H = \lambda_0 / 2$ ، $n_L(\text{MgF}_2)=1.38, n_H(\text{ZnS})=2.35$ ،
 $2n_L d_L = n_H d_H = \lambda_0 / 2$ مقارنة مع [4,9]. $\lambda_0 = 500 \text{ nm}$

جدول (2) توسيع حزمة الانعكاسية المالية للكومة (2:1) ومقارنتها مع الدراسات السابقة

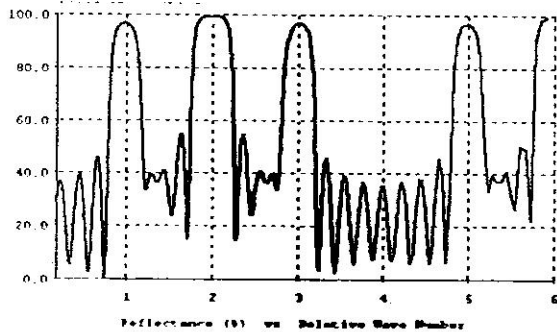
Design construction	Refractive index			Wavelength (nm)		Band width (nm)		R _{min} (%)	Fig. No.
	n _L	n _H	n _S	λ _{min}	λ _{max}	R _{min}	R _{max}		
[9]	-	-	glass 1.52	632.8	1064	200	175	35	(8)
Glass[1.33 1.066 1] ³ 0.91 [2.2329 1.1166 1] ³ Air	MgF ₂ 1.38	ZnS 2.35	glass 1.52	632.8	1064	280	120	25	(9)



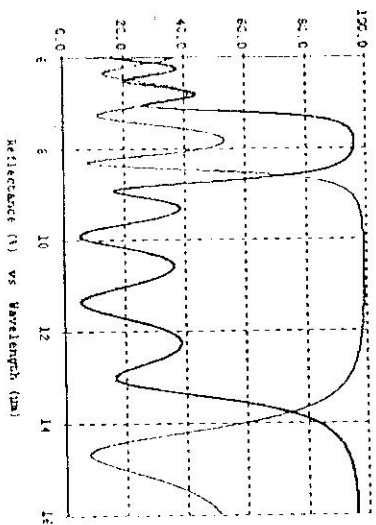
شكل (4) الانعكاسية دالة للعدد الموجي النسبي للتصميم Ge [L1L1H]¹ Air: $n_1(\text{ZnS})=2.20, n_2(\text{Ge})=4.0$, $2n_1d_1=n_2d_2=\lambda_0/2$ محققا الشرط $\lambda_0=10.6 \mu\text{m}$ و



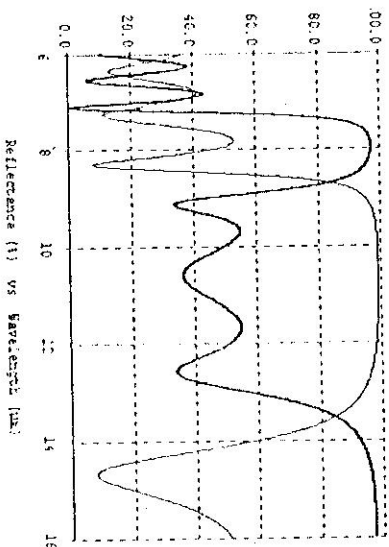
شكل (5) الانعكاسية دالة للعدد الموجي النسبي للتصميم Glass [L1L1L1H]¹ Air: $n_1(\text{MgF}_2)=1.38, n_2(\text{ZnS})=2.35$, $3n_1d_1=n_2d_2=\lambda_0/2$ محققا الشرط $\lambda_0=500 \text{ nm}$ و مقارنة مع [4,9].



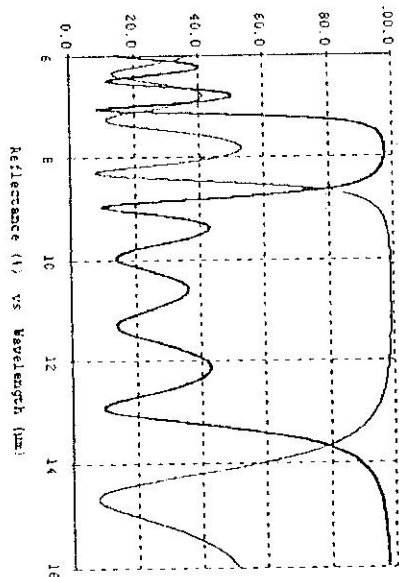
شكل (6) الانعكاسية دالة للعدد الموجي النسبي للتصميم Ge [L1L1L1H]¹ Air: $n_1(\text{ZnS})=2.20, n_2(\text{Ge})=4.0$, $3n_1d_1=n_2d_2=\lambda_0/2$ محققا الشرط $\lambda_0=10.6 \mu\text{m}$ و



(c)



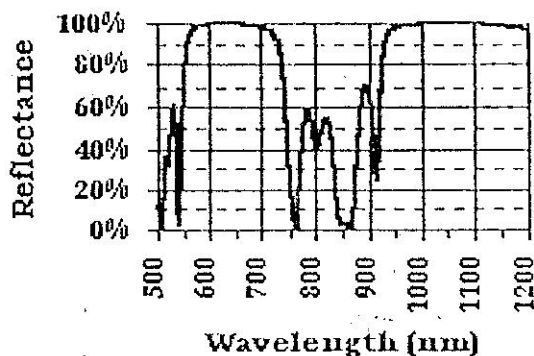
(b)



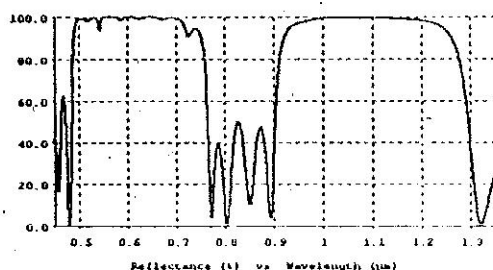
(a)

شكل (7) مقارنة الانعكاسية دالة لتضوّل الموجي للتصميم Ge [LH]¹ Air (المضخني الفاتح) والتصميم (النقط الغامق): Ge [LMH]¹ Air (a) , Ge [LMH]¹ Air (b) , Ge [LMH]¹ Air (c) و Ge [LMH]¹ Air (c)

5. Macleod, H.A. 1986, Thin Film Optical Filters, (McGraw-Hill company, New York,.
6. Turner, A.F. and P. W .Baumeister, 1966,"Multilayer mirrors with high reflectance over an extended spectral region ," Appl.Opt. 5:9-76.
7. Epstein, L.I 1952, " The design of optical filters ," J.Opt.Soc.Am. 42: 806-10.
8. Thelen, A.J. 1966, "Equivalent layers in multilayers filters ", J. Opt .Soc.Am. 5:1533-38.
9. Rashid, Haifa'a Gh. 1997, Design and Optimization of Thin - Film Optical Filters with Applications in Visible and Infrared Regions, Ph.D. Thesis, Al-Mustansiriyah University.
10. Dobrowolski, Li Li and J.A. 1993,"Design of optical coatings for two widely separated regions." Appl.Opt. 32:2969-71.
11. Dobrowolski and Li Li, J.A. 1995,"Design of optical coatings for three or more separated spectral regions," Appl.Opt. 34:2934-40.
12. Monzon, T.Yonte, J.j. A.Teloipe and L.L.Sanchez-Soto , 2004, " Optimizing omnidirectional reflectoion by multilayer mirrors". J.Opt.A:Appl.Opt. 6:124-131.
13. Optical Component,Inc. 1996-2001,WWW.Oci Optic .Com / hehd.htm



شكل (8) مخطط الاتكلمية مقابل الطول الموجي للمرايا المزوجة [13]

شكل (9) تصميم المرايا المزوجة الحزمة للتصميم:
Glass [1.333L 0.666H]⁷ 0.9L [2.2329L 1.1166H]⁴ Air

REFERENCES

1. Ledeger, A.M. 1979, "Inhomogenous interface laser mirror coating." Appl.Opt.18:2979-89.
2. Patel, B.S. 1977,"Optical suitability of windows materials for CO₂ lasers ,"Appl.Opt.16:1232-35.
3. Arecchi, F.T. 1979, E.O .Schulz,and Z.Dobois, Laser Handbook ,vol . 1(North-Holland , Amesterdam ,.
4. Driscoll, W.G. and W.Vaughan , Handbook of Optics , 1978, (McGraw - Hill, New York,.

DESIGN OF MULTI-BAND REFLECTORS ADAPTING THE CONCEPT OF STACK

Haifa 'a Gh. Rashid

Physics Department-College of Education-Al-Mustansiryiah
University

Abstract

Double and triple band reflectors were designed using the concept of stack. The effect of either thickness ratios ($p:q$) or index materials on the high reflectance peak had been studied. The study was applied to the visible and infrared spectral regions adapting the modified characteristic matrix theory restricted to near-normal incidence of light on dielectric, homogenous and isotropic multilayer thin film. Results illustrated that, using the stack concept, the control of peak position was the bases for designing dual and triple band reflectors furthermore the building block of other types of optical filters.